



**POLYTECHNIQUE  
MONTRÉAL**

UNIVERSITÉ  
D'INGÉNIERIE

**PHS3910 – TECHNIQUES EXPÉRIMENTALES ET INSTRUMENTATION**

**Équipe : Lundi 03**

---

## **Écran tactile acoustique**

Fiche technique du prototype

---

**Présenté à**  
Jean Provost  
Lucien Weiss

**Par :**  
Émile **Guertin-Picard** (2208363)  
Philippine **Beaubois** (2211153)  
Marie-Lou **Dessureault** (2211129)  
Maxime **Rouillon** (2213291)

20 octobre 2024  
Département de Génie Physique  
Polytechnique Montréal

## Table des matières

<b>1</b>	<b>Description générale et spécifications</b>	<b>1</b>
<b>2</b>	<b>Rapports de tests</b>	<b>2</b>
2.1	Nombre de bits des échantillons du signal . . . . .	2
2.2	Fréquence d'échantillonnage du signal . . . . .	3
2.3	Contenu fréquentiel du signal . . . . .	4
2.4	Interdépendance des facteurs . . . . .	6
2.5	Incertitudes . . . . .	8
<b>3</b>	<b>Codes</b>	<b>9</b>
3.1	Programme pour modifier le contenu fréquentiel et la fréquence d'échantillonnage . . . . .	9
3.2	Programme pour changer le nombre de bits des échantillons . . . . .	11
3.3	Programme pour calculer la résolution et le contraste pour un dictionnaire de notes . . . . .	12
3.4	Programme pour enregistrer un dictionnaire de notes . . . . .	17
3.5	Programme pour jouer du piano en temps réel . . . . .	18
<b>4</b>	<b>Annexe</b>	<b>22</b>
4.1	Preuve de la correction par Antidote . . . . .	22

## 1 Description générale et spécifications

Cette fiche technique présente les caractéristiques d'un piano construit avec un écran tactile acoustique. Un capteur piézoélectrique, sur une plaque de plexiglas de 5 mm d'épaisseur, localise un impact par son onde sonore, pour permettre de jouer la note appropriée en temps réel. Cette plaque et ses dimensions sont présentées à la figure 1. Le piano peut jouer une seule gamme (12 notes), et est limité à ne pouvoir jouer qu'une seule note à la fois. L'acquisition de signal sonore se fait à une fréquence de 44100 Hz par un ADC, donnant des échantillons de 32 bits. Des fréquences sonores de 0 Hz à 22000 Hz sont présentes. Le délai entre la frappe et le son de la note est d'environ 200 ms, dépendant de la puissance de l'ordinateur qui lit les données du capteur.

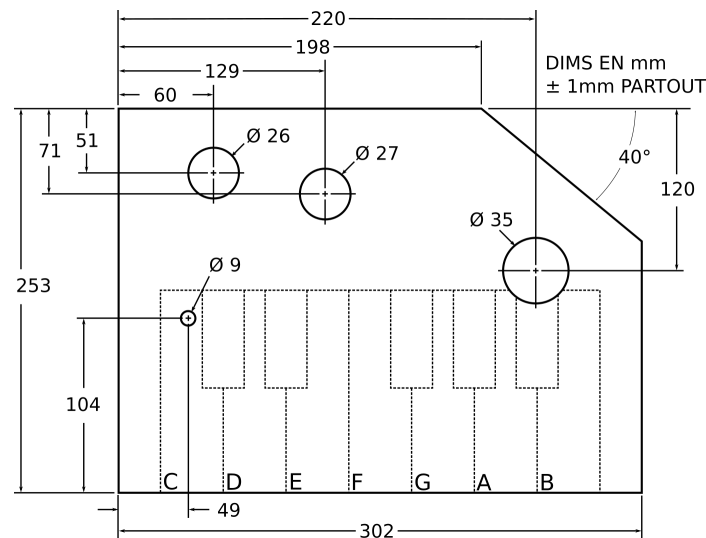


Figure 1 : Schéma avec dimensions du prototype de piano tactile. Le capteur piézoélectrique a son centre positionné à 176 mm du côté gauche et à 207 mm du bas de la plaque approximativement.

Le tableau 1 résume les résultats pertinents des tests de caractérisations effectués sur le prototype. La première ligne du tableau illustre la résolution, la grandeur qu'une note doit prendre pour être distincte, et le contraste, qui quantifie la différence entre les signaux obtenus, pour le piano présenté ci-dessus. De là, des bornes ont été posées sur le nombre de bits, la fréquence d'échantillonnage et le contenu fréquentiel pour évaluer l'influence de chacun sur la performance globale du dispositif. Ces tests ont été effectués dans l'optique d'amoindrir les coûts pour un deuxième prototype. Les tests choisis dans le tableau 1 sont ceux pour lesquels la dégradation des facteurs résultait en valeurs convenables de résolution et de contraste.

Bits	Facteurs		Résolution (cm)	Contraste
	Fréq. d'échantillonnage (Hz)	Contenu fréquentiel (Hz)		
32	44100	-	6.39 ± 0.08	0.62 ± 0.02
16	44100	-	5.0 ± 0.2	0.70 ± 0.08
8	44100	-	4.2 ± 0.2	0.58 ± 0.09
32	44100	300-5000	6.71 ± 0.08	0.529 ± 0.004
32	44100	300-1500	6.27 ± 0.08	0.72 ± 0.01
32	1002	10-400	5.94 ± 0.08	0.724 ± 0.007

Table 1 – Tableau des spécifications de l'écran tactile acoustique avec modification de facteurs.

## 2 Rapports de tests

La section qui suit détaille les tests effectués afin de produire le tableau des spécifications. Une attention particulière est portée à la modification du nombre de bits des échantillons, de la fréquence d'échantillonnage utilisée ainsi qu'au contenu fréquentiel sauvegardé, afin d'analyser si un dispositif ayant ces facteurs de dégradés peut tout de même présenter des performances adéquates. Comme c'est le cas, le processeur et la mémoire requise pour opérer le piano pourrait être moins dispendieux et rester opérationnel.

Les tests mesurent tous la performance du dispositif en analysant la résolution et le contraste, tous les deux acquis par le processus suivant. Un dictionnaire de plusieurs impacts espacés de 5mm chacun sur une ligne droite est enregistré par le capteur piézoélectrique. Le signal de ces impacts est enregistré sous la forme d'un vecteur. Un de ces impacts est choisi, puis la corrélation entre ce dernier et tous les impacts est calculée. Afin d'accélérer le temps de calcul, réduisant ainsi le délai impact-note pour jouer le piano en temps réel, la corrélation est approximée par un produit scalaire des deux signaux normalisés. Une distribution gaussienne peut ensuite être ajustée sur les résultats des produits scalaires. Cette dernière permet d'obtenir la résolution par sa largeur à mi-hauteur. Un paramètre constant est aussi ajouté à la gaussienne afin d'ajuster son "plancher" en hauteur. La différence entre ce plancher et la valeur du produit scalaire la plus haute est ce qui donne le contraste. Enfin, ce processus de corrélation entre un signal et le reste du dictionnaire est répété pour différents signaux afin de faire une étude statistique. Ainsi, pour chaque test, le dictionnaire est modifié, puis ce processus de calcul est appliqué. Les calculs d'incertitudes pour la résolution et le contraste sont détaillés à la section 2.5.

### 2.1 Nombre de bits des échantillons du signal

L'un des tests effectués pour la caractérisation du dispositif est la modification du nombre de bits pour les échantillons de chaque signal. C'est ce nombre qui dicte les grandeurs des sauts possibles entre les valeurs du signal acquis. En effet, lorsque le nombre de bits est réduit, la notation en nombres flottants contient moins de décimales, ce qui fait que moins de nombres réels sont utilisables pour l'approximation de l'amplitude du signal sonore. Dans les faits, un bit est toujours réservé pour la description du signe (positif ou négatif). Puisque la base 2 est utilisée dans ce prototype, le nombre de niveaux disponibles pour approximer les données est  $2^{n-1}$ , où  $n$  est le nombre de bits alloué au stockage du nombre. Ainsi, pour diminuer la précision des valeurs du signal au nombre de bits souhaité, le signal sera multiplié par le facteur  $F$  suivant :

$$F = \frac{2^{n-1}}{2}. \quad (1)$$

Pour normaliser le signal, chaque valeur sera ensuite arrondie à son niveau le plus proche. Le signal sera alors divisé par  $F$  pour revenir à son échelle d'origine. Avec cette méthode, plusieurs réductions du nombre de bits ont été effectuées sur le dictionnaire original à 32 bits, afin d'essayer de voir si les résultats restent concluants malgré cette détérioration. Les résultats suivants ont été obtenus et sont présentés dans le tableau 2.

Dictionnaire	Résolution (cm)	Contraste
1 bits	$0 \pm 800$	$0 \pm 100$
2 bits	$0 \pm 20$	$0 \pm 5$
3 bits	$4 \pm 6$	$0 \pm 2$
4 bits	$4 \pm 3$	$0 \pm 1$
6 bits	$4.2 \pm 0.6$	$0.6 \pm 0.3$
8 bits	$4.2 \pm 0.2$	$0.58 \pm 0.09$
16 bits	$5.0 \pm 0.2$	$0.70 \pm 0.08$
32 bits	$6.39 \pm 0.08$	$0.62 \pm 0.02$

Table 2 – Tableau de résolution et de contraste en fonction du nombre de bits conservé pour les échantillons.

En analysant les données présentes dans ce tableau, on constate qu'en dessous de 6 bits, les valeurs de résolution et de contraste commencent à être nettement moins correctes. Cette affirmation peut être démontrée par la nette augmentation des incertitudes, ce qui rend les valeurs plus incertaines. De plus, les valeurs de contraste chutent à 0, montrant que les notes ne sont pas distinctes entre elles. Il est donc juste de déterminer qu'un signal traité avec moins de ressources que celles requises pour 6 bits aurait un impact néfaste sur l'efficacité du fonctionnement du piano. Cependant, cela nous permet également de remarquer qu'un prototype pourrait fonctionner avec moins de bits que le prototype actuel. Cela pourrait être bénéfique, car il permettrait de faire fonctionner correctement un prototype utilisant moins de mémoire et donc moins de ressources. Cela pourrait permettre de réaliser un projet similaire, mais avec des pièces à moindres coûts.

## 2.2 Fréquence d'échantillonnage du signal

Pour tester différentes fréquences d'échantillonnage plus faibles que la fréquence initiale, il suffit d'échantillonner l'échantillon déjà obtenu. En effet, en prenant un point sur deux dans un échantillon dont la fréquence d'échantillonnage est de 44 100 Hz, le nouvel échantillon a directement une fréquence d'échantillonnage de 22 050 Hz. En procédant de cette façon, plusieurs fréquences d'échantillonnage ont été artificiellement enregistrées. Les résultats de résolution et contraste qu'elles ont produits sont présentés au tableau 2.

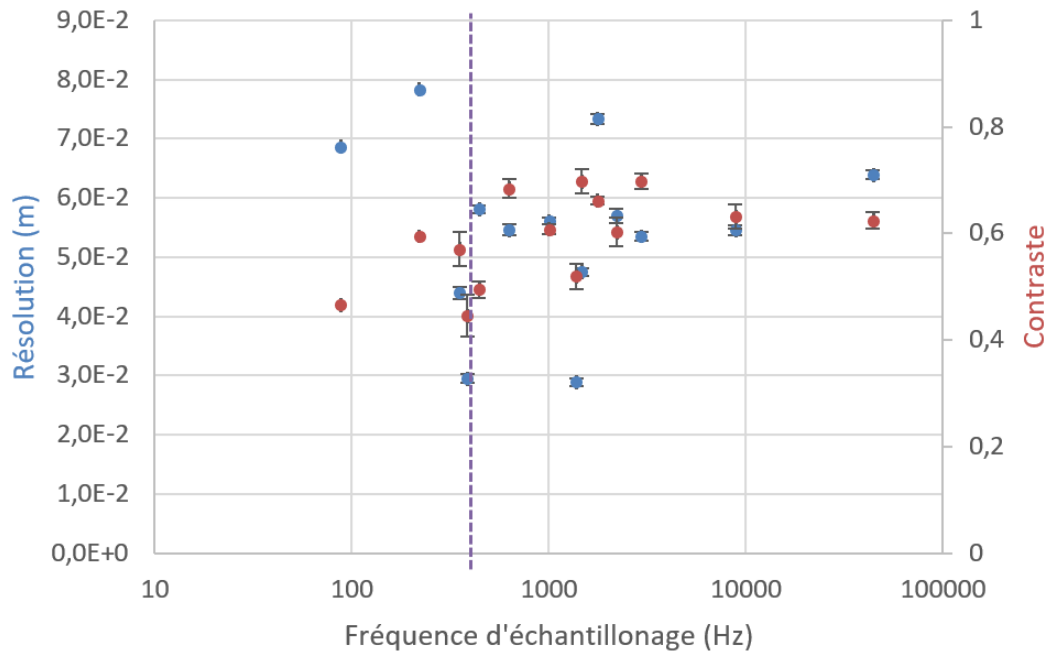


Figure 2 : Contraste et résolution en fonction de la fréquence d'échantillonnage.

26 valeurs de fréquences ont été testées, mais seules les valeurs non aberrantes sont présentes sur le graphique. La ligne pointillée verticale indique la moitié des valeurs testées. On constate que peu de valeurs sont affichées pour une fréquence en dessous de 400 Hz. Cela est dû à des aberrations dans la convergence du fit gaussien utilisé dans le code, ce qui témoigne de données d'une qualité insuffisante pour être utilisées dans la conception d'un piano. On remarque également que la fréquence et le contraste varient légèrement entre 400 Hz et 44,1 kHz, mais qu'il n'y a pas de tendance à la hausse ou à la baisse générale. Cela indique qu'on peut diminuer la fréquence d'échantillonnage jusqu'à 400 Hz sans trop d'impact sur la résolution et le contraste, permettant l'utilisation de processeurs nettement moins puissants et coûteux que ceux d'ordinateurs personnels.

### 2.3 Contenu fréquentiel du signal

Pour stocker le signal, il est possible de le transformer dans le domaine fréquentiel, puis d'en retirer une partie avant de l'enregistrer. De cette façon, un moins grand nombre de bits est nécessaire pour conserver l'information.

Le processus pour retirer une partie du contenu fréquentiel du signal consiste à lui appliquer une FFT, puis à définir des filtres à appliquer, d'obtenir le signal fréquentiel filtré et enfin appliquer la FFT inverse pour retrouver un signal dans le domaine temporel ayant un contenu fréquentiel réduit. Il est alors possible de tester la qualité de ce nouveau signal en calculant la résolution et le contraste obtenu à l'aide d'une corrélation avec un ensemble de vecteurs ayant été réduits de la même façon.

Le filtre dans le domaine fréquentiel est défini à l'aide de fonctions de Heaviside, qui retourne à zéro comme valeur jusqu'au paramètre et 1 pour des valeurs strictement supérieures au paramètre. Le filtre passe-haut, qui détermine la fréquence minimale conservée, est directement une fonction de Heaviside, alors que le filtre passe-bas, qui détermine la fréquence maximale conservée, est une fonction de Heaviside inversée en  $x$ , c'est-à-dire que ce sont les valeurs supérieures ou égales au paramètre du filtre qui sont nulles et

les valeurs strictement inférieures qui sont égales à 1. Le filtre final est la somme des deux filtres, ce qui forme une fonction fenêtre. En multipliant terme à terme le filtre et le vecteur dans le domaine fréquentiel, on obtient le vecteur filtré dont les composantes sont conservées lorsqu'elles sont dans à l'intérieur de l'intervalle et nulles sinon.

En modifiant la valeur des filtres, on peut voir l'impact de la réduction du contenu fréquentiel sur la résolution et le contraste afin de déterminer jusqu'à quelles fréquences on peut réduire le signal. La fréquence maximale conservée est le premier paramètre testé et ses résultats sont illustrés à la figure 3, pour une fréquence minimale conservée de 10 Hz et une fréquence d'échantillonnage de 44,1 kHz.

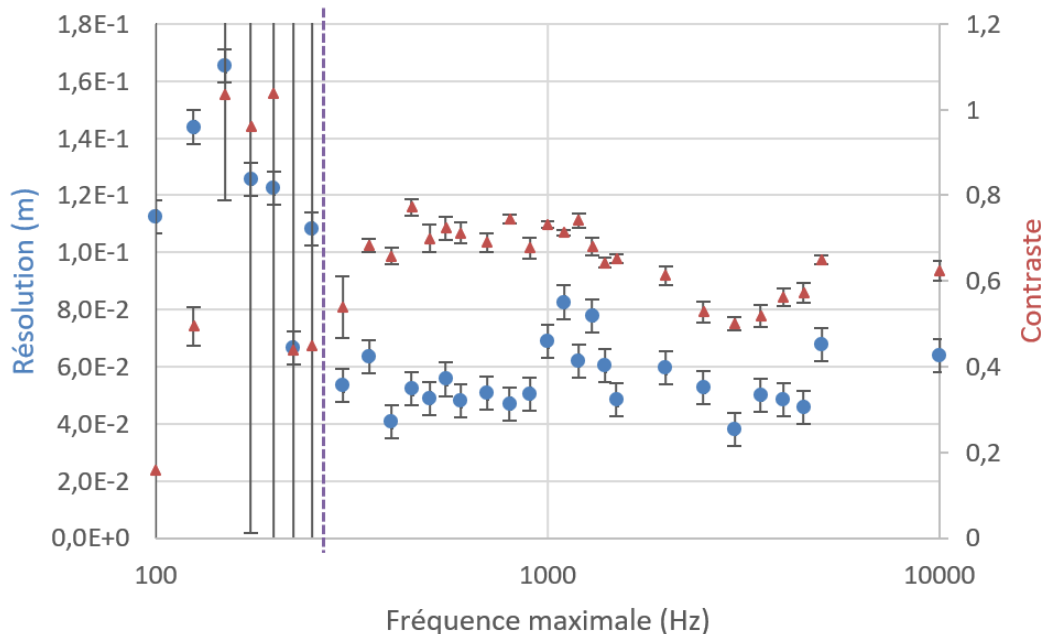


Figure 3 : Contraste et résolution en fonction de la fréquence maximale conservée.

On observe que dans la portion à droite de la ligne pointillée verticale, le contraste est relativement constant autour de 0,7 entre  $0,50 \pm 0,02$  et  $0,80 \pm 0,02$  et la résolution est également relativement constante autour de 6cm entre  $(8,3 \pm 0,1)$  cm et  $(4,0 \pm 0,1)$  cm. Dans la portion à gauche de la ligne pointillée, les valeurs fluctuent beaucoup plus, avec des résolutions qui dépassent 10 cm, des incertitudes supérieures aux valeurs et même des contrastes obtenus avec la régression gaussienne qui dépassent 1. Ces éléments correspondent à un échec de la régression gaussienne et témoignent d'une trop grande dégradation du signal. La position de la ligne pointillée, à environ 300 Hz, marque une limite inférieure pour la réduction de la fréquence maximale conservée.

De la même façon, on peut tester la fréquence minimale conservée en fixant la fréquence maximale à 5000 Hz et la fréquence d'échantillonnage à 44,1 kHz. Les résultats de ce test sont présentés à la figure 4.

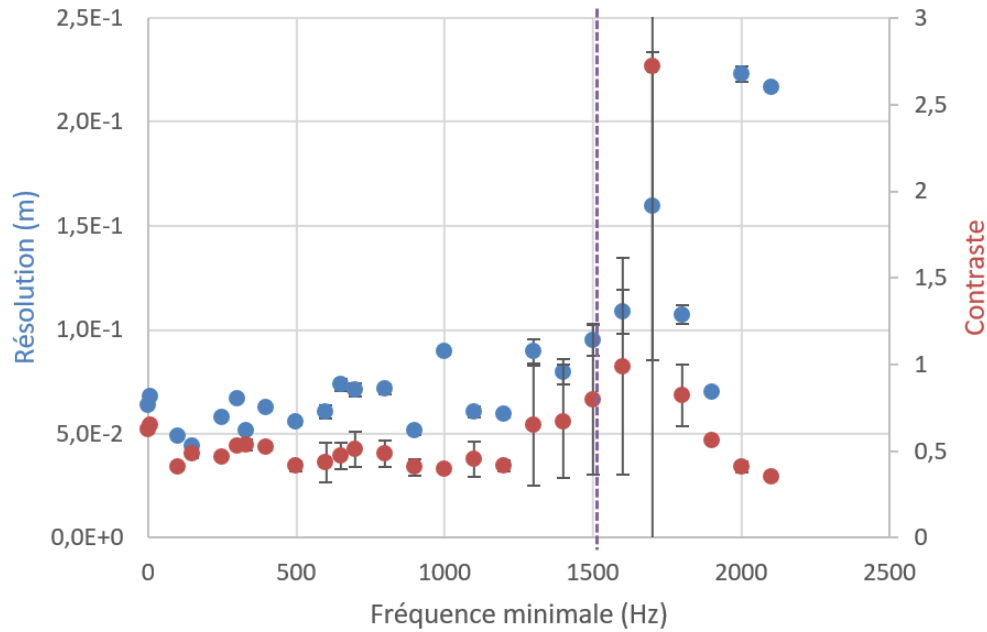


Figure 4 : Contraste et résolution en fonction de la fréquence minimale conservée.

À gauche de la ligne pointillée verticale, on observe des valeurs relativement constantes pour la résolution et le contraste, soit respectivement autour de 6 cm, entre  $(4,4 \pm 0,1)$  cm et  $(9,5 \pm 0,8)$  cm et autour de 0,5 entre  $0,41 \pm 0,1$  et  $0,8 \pm 0,4$ . À droite de la ligne pointillée, le même comportement divergent peut être observé, avec des résolutions et des contrastes qui sont plus du double des valeurs attendues et des incertitudes très grandes par endroit. À nouveau, la position de la ligne pointillée à environ 1500 Hz marque la limite supérieure pour l'augmentation de la fréquence minimale conservée.

En considérant ces deux résultats conjointement, il est clair qu'ils ne peuvent pas être implémentés simultanément, puisque cela conduirait à un signal totalement nul. En se rappelant l'objectif de ces tests, soit de voir à réduire au maximum la quantité d'information à enregistrer, une préférence est développée pour les filtres limitant au maximum la bande de fréquences nécessaire pour obtenir un résultat équivalent au piano réalisé au préalable. Comme la limitation imposée à la fréquence maximale est la plus grande des deux, réduisant à environ 400 Hz le spectre de fréquences plutôt qu'à environ 20kHz ( $20550 = 22050 - 1500$ ), c'est la configuration de ce test qui est choisie. Le contenu fréquentiel peut donc être restreint à l'intervalle [10,400] Hz pour sauver de la mémoire.

## 2.4 Interdépendance des facteurs

L'interdépendance des facteurs a dû être prise en compte lors de la caractérisation du prototype. Sachant que le nombre de bits des échantillons affecte principalement l'analyse des signaux, il a été convenu que son influence pouvait être analysée de manière indépendante aux deux autres facteurs. Cependant, la fréquence d'échantillonnage et le contenu fréquentiel étaient soupçonnés de posséder une interdépendance non négligeable sur les valeurs de contraste et de résolution obtenus. Effectivement, l'impact de la fréquence de Nyquist peut faire en sorte que des signaux ayant une fréquence d'échantillonnage plus basse résultent tout de même en valeurs de contraste et de résolution acceptables en diminuant la borne supérieure du contenu fréquentiel. Le théorème de Nyquist stipule que la fréquence d'échantillonnage minimale d'un signal doit nécessairement correspondre au double de la fréquence maximale du signal évalué [1].



Pour ce faire, certaines plages de contenu fréquentiel ont été choisies, pour ensuite évaluer l'impact de la réduction de la fréquence d'échantillonnage. Des tests ont été effectués pour les bornes supérieures suivantes : 5000 Hz, 3000 Hz, 2250 Hz, 1750 Hz, 1500 Hz et 1000 Hz. La borne inférieure a été maintenue à 300 Hz, ce qui correspond à une limite satisfaisante, tel que déterminé lors des tests précédents. Pour visualiser l'influence de la fréquence de Nyquist, les figures 5 et 6 illustrent les résultats pour la résolution et le contraste selon différents paramètres d'analyse.

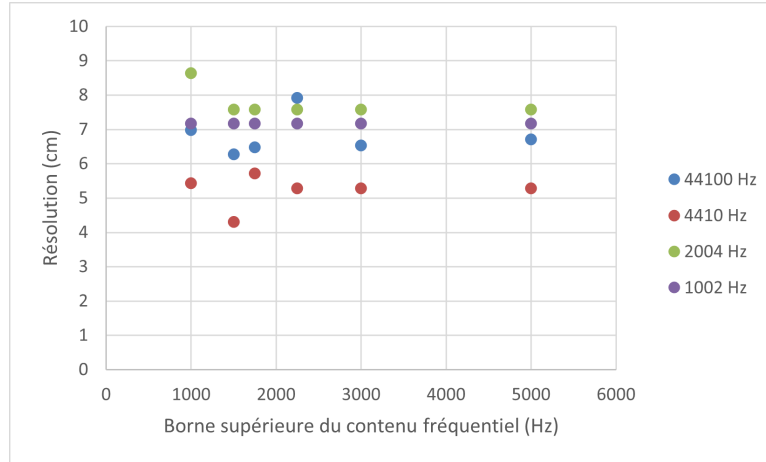


Figure 5 : Résolution en fonction de la fréquence d'échantillonnage (1002, 2004, 4410 et 44100 Hz) et de la fréquence de la borne supérieure du contenu fréquentiel. Ici, la borne inférieure est maintenue à 300 Hz.

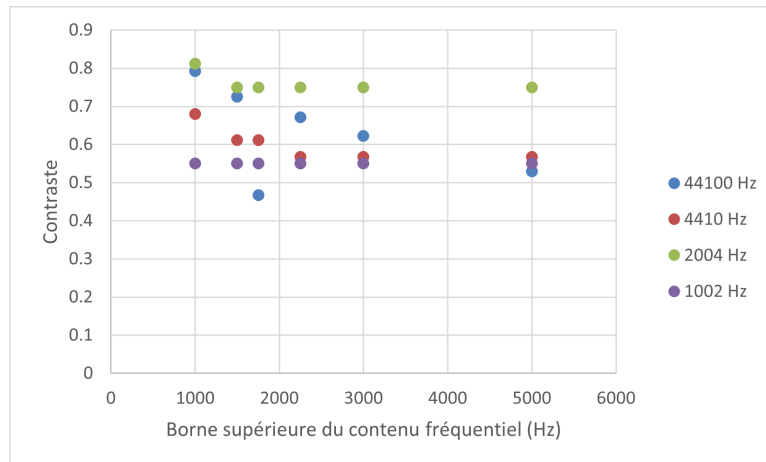


Figure 6 : Contraste en fonction de la fréquence d'échantillonnage (1002, 2004, 4410 et 44100 Hz) et de la fréquence de la borne supérieure du contenu fréquentiel. Ici, la borne inférieure est maintenue à 300 Hz.

En observant les tendances, on voit clairement que pour les fréquences d'échantillonnage inférieures au double de la fréquence maximale ( $f < f_{nyquist}$ ), les variations des valeurs de résolution et de contraste disparaissent. Par exemple, les résultats obtenus pour une fréquence d'échantillonnage de 1002 Hz sont constants pour toutes les bornes (résolution =  $7.17 \pm 0.09$  cm, contraste =  $0.551 \pm 0.009$ ). En augmentant la fréquence d'échantillonnage, le même phénomène est observé ; pour une fréquence d'échantillonnage de 2004 Hz, tous les résultats au-dessus de  $f/2 = 1002$  Hz deviennent constants et pour une fréquence d'échantillonnage de 4410 Hz, tous les résultats au-dessus de  $f/2 = 2205$  Hz deviennent constants. En

dessous de la fréquence d'échantillonnage de Nyquist, les "vraies" fréquences ne sont pas détectées, mais des versions "repliée" (*aliasing*) d'elles-mêmes, à plus basse fréquence, peuvent l'être. Le phénomène est illustré dans la figure 7.

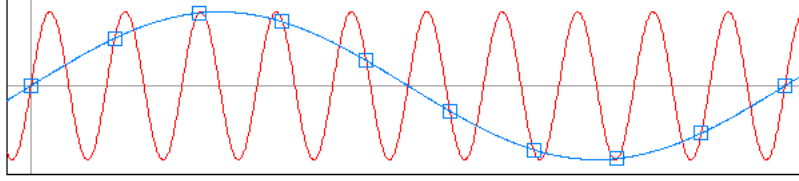


Figure 7 : Exemple du phénomène d'*aliasing* [1]

Par conséquent, il est logique que les fréquences plus grandes que  $f_{sample}/2$  ne soient pas détectées, et que de les éliminer à l'aide d'un filtre n'affecte d'aucune manière le résultat final. Ces tests supportent donc le fait que la fréquence d'acquisition de données ne doit jamais être inférieure à la fréquence de Nyquist. Si la composante fréquentielle maximale est connue, la fréquence d'acquisition peut donc être posée au double de celle-ci.

## 2.5 Incertitudes

L'incertitude associée à l'amplitude du signal, ou l'axe  $y$ , est celle qui provient de la résolution de l'ADC. La résolution de l'ADC,  $\delta$ , dépend du nombre de bits des échantillons, et peut être décrite par :

$$\delta = \frac{\Delta_{max}}{2^n},$$

où  $\Delta_{max}$  est l'éventail possible des mesures, et  $n$  est le nombre de bits. L'incertitude correspond à la moitié de cette valeur, soit  $\sigma_{res} = \delta/2$ . L'incertitude sur la position de la source du signal est approximée par la moitié de la largeur d'un doigt,  $\sigma_{pos} \approx 4 \text{ mm}$ . La corrélation des signaux a été déterminée en calculant le produit scalaire. On sait que pour une multiplication, la propagation de l'incertitude se calcule de la manière suivante :

$$\sigma_z = z \sqrt{\frac{\sigma_x^2}{x} + \frac{\sigma_y^2}{y}}.$$

L'incertitude totale sur le produit scalaire est donc :

$$\sigma_{tot} = \sqrt{\sum_i^N \sigma_{z_i}^2},$$

où  $N$  est le nombre de points évalués pour les échantillons. Pour déterminer l'incertitude sur les paramètres du fit gaussien, tout en considérant l'impact des incertitudes en  $x$  et  $y$ , la fonction *scipy.ODR* a été utilisée. Finalement, l'incertitude sur le contraste correspond directement à l'incertitude sur le paramètre de l'amplitude ( $\sigma_A$ ), et l'incertitude sur la résolution (FWHM) correspond à :

$$\sigma_{FWHM} = \sqrt{2 \ln 2} \sigma_\sigma,$$

où  $\sigma_\sigma$  est l'incertitude sur l'écart-type,  $\sigma$ .

### 3 Codes

Les codes présentés ci-dessous ont été utilisés pour faire fonctionner le piano et pour faire les multiples tests. Ces derniers peuvent nécessiter d'être adaptés pour pouvoir faire des tests spécifiques, ou encore pour décider quelles notes peuvent être jouées par le piano.

#### 3.1 Programme pour modifier le contenu fréquentiel et la fréquence d'échantillonnage

```

1 import numpy as np
2 import matplotlib.pyplot as plt
3 import json
4 import os
5 from scipy.optimize import curve_fit
6
7 # Charger le fichier JSON (dictionnaire de notes)
8 with open('C:/Users/maxim/OneDrive/Documents/GitHub/piano_project/Wav-Notes/
    notes_dict_1ligne.json', 'r') as f:
9     data = json.load(f)
10 input_filepath = 'Wav-Notes/notes_dict_1ligne.json'
11 # Obtenir le repertoire du fichier original
12 output_directory = os.path.dirname(input_filepath)
13
14 # Parametres a ajuster
15 # liste filtre_bas : [100,100,150,150,200,200,250,250,300,300,350,350,400,400,500,500]
16 # liste filtre_haut :
    [2000,1500,2000,1500,2000,1500,2000,1500,2000,1500,2000,1500,2000,1500,2000,1500]
17 filtre_bas=[550]
18 filtre_haut=[1500]
19 redu=30 #facteur de reduction de la frequence d'echantillonnage
20
21 # Parametres importants
22 fs = int(44100//redu) # sample rate
23 dt = 0.1 # Intervalle de temps (en secondes)
24 nb_recordings = 1 # nb d'enregistrements par note
25 nb_points = int(dt * fs) # Equivalent en nombre de points pour les indices
26 point_du_tap = 11 # Sert a l'affichage
27
28 notes= ['1','2','3','4','5','6','7','8','9','10','11','12','13','14','15','16','17']
29 notes_matrix = np.zeros((len(notes) * nb_recordings, nb_points))
30
31 # Transferer les donnees du dictionnaire dans une matrice avec 17 lignes et nb_points
    par ligne
32 i = 0
33 for note, recordings in data.items():
34     for prise in recordings:
35         array = np.array(prise)
36         array_fin=array[:,redu]
37         if len(array_fin)!=nb_points:
38             array_fin=array_fin[:nb_points]
39         notes_matrix[i] = array_fin
40         i += 1
41
42 def dico_filtre_passband(matrice, frequence_minimale, frequence_maximale):
43     # 1. Effectuer la transformee de Fourier rapide (FFT)
44     signal_fft = np.fft.rfft(matrice)
45     frequencies = np.fft.rfftfreq(len(matrice[0]), 1/fs)
46
47     # 2. Creer un filtre passe-bande

```

```
48 low_cutoff = frequence_minimale # Frequence de coupure basse (Hz)
49 high_cutoff = frequence_maximale # Frequence de coupure haute (Hz)
50 filter_mask = (frequencies > low_cutoff) & (frequencies < high_cutoff)
51
52 # 3. Appliquer le filtre
53 filtered_fft = signal_fft * filter_mask
54
55 # 4. Revenir au domaine temporel avec la transformee inverse de Fourier
56 filtered_signal = np.fft.irfft(filtered_fft)
57
58 # 5. Remplacer la deuxieme moitie de chaque vecteur par des zeros
59 filtered_signal_cut = np.zeros_like(filtered_signal) # Creer une matrice du meme
type, remplie de zeros
60 half_point = filtered_signal.shape[1] // 2 # Obtenir le point de coupure (moitie)
61 filtered_signal_cut[:, :half_point] = filtered_signal[:, :half_point]
62
63 # Retourne le nouveau dico avec les signaux filtres
64 return filtered_signal_cut, frequencies, filtered_fft[point_du_tap], signal_fft[
point_du_tap]
65
66 # Fonction pour creer un nouveau fichier JSON pour chaque niveau de bits
67 def create_modified_json(fbas,fhaut,freq_sampling, output_directory):
68     notes_dict = {}
69
70     for bas,haut in zip(fbas,fhaut):
71         matrice_traitee, frequencies, filtered_fft, signal_fft=dico_filtre_passband(
notes_matrix,bas,haut)
72
73     # On parcourt les notes et les enregistrements pour remplir le dictionnaire
74     for i, note in enumerate(notes):
75         recordings = []
76         for j in range(nb_recordings):
77             # On suppose que chaque enregistrement correspond a une ligne dans
notes_matrix
78             recordings.append(matrice_traitee[i * nb_recordings + j].tolist()) #
Convertir en liste
79             notes_dict[note] = recordings
80
81     for bas,haut in zip(fbas,fhaut):
82         # Generer le nom de fichier pour chaque duo de filtre
83         output_filename = os.path.join(output_directory, f'fs={freq_sampling}-fbas={bas
}-fhaut={haut}.json')
84
85         # Sauvegarder le nouveau dictionnaire dans un fichier JSON
86         with open(output_filename, 'w') as outfile:
87             json.dump(notes_dict, outfile, indent=4)
88
89 # Creer un fichier JSON pour chaque niveau de bits dans le meme repertoire que le
fichier original
90 create_modified_json(filtre_bas, filtre_haut, fs, output_directory)
91
92 #La suite du code n'est pas utile en soi mais permet de confirmer que ca donne la bonne
chose
93 sign, frequencies, filtered_fft, signal_fft=dico_filtre_passband(notes_matrix,filtre_bas
[0],filtre_haut[0])
94 signal_post_filtre=sign[point_du_tap]
95 signal=notes_matrix[point_du_tap]
96
97 # Generer le temps
```

```
98 t1 = np.linspace(0, 1, len(signal), endpoint=False) # Intervalle de temps
99 t2 = np.linspace(0, 1, len(signal_post_filtre), endpoint=False) # Intervalle de temps
100 #f1, f2 = 50, 200 # Frequences des sinusoides
101 #signal = np.sin(2 * np.pi * f1 * t) + 0.5 * np.sin(2 * np.pi * f2 * t)
102
103 # Afficher les resultats
104 plt.figure(figsize=(10, 6))
105
106 # Affichage du signal original
107 plt.subplot(2, 2, 1)
108 plt.plot(t1, signal)
109 plt.title("Signal original")
110 plt.xlabel("Temps [s]")
111 plt.ylabel("Amplitude")
112
113 # Spectre de frequence original
114 plt.subplot(2, 2, 2)
115 plt.plot(frequencies[:fs//2], np.abs(signal_fft)[:fs//2])
116 plt.title("Spectre de frequence original")
117 plt.xlabel("Frequence [Hz]")
118 plt.ylabel("Amplitude")
119
120 # Spectre de frequence filtre
121 plt.subplot(2, 2, 4)
122 plt.plot(frequencies[:fs//2], np.abs(filtered_fft)[:fs//2])
123 plt.title("Spectre de frequence filtre")
124 plt.xlabel("Frequence [Hz]")
125 plt.ylabel("Amplitude")
126
127 # Signal filtre
128 plt.subplot(2, 2, 3)
129 plt.plot(t2, signal_post_filtre.real)
130 plt.title("Signal filtre")
131 plt.xlabel("Temps [s]")
132 plt.ylabel("Amplitude")
133
134 plt.tight_layout()
135 plt.show()
```

### 3.2 Programme pour changer le nombre de bits des échantillons

```
1 import json
2 import os
3 import numpy as np
4
5 # Charger le fichier JSON (dictionnaire)
6 input_filepath = 'Wav-Notes/notes_dict_1ligne.json'
7 with open(input_filepath, 'r') as f:
8     data = json.load(f)
9
10 # Obtenir le repertoire du fichier original
11 output_directory = os.path.dirname(input_filepath)
12
13 # Fonction pour reduire la precision d'un signal en fonction du nombre de bits
14 def reduce_precision(signal, n_bits):
15     if n_bits == 1:
16         # Cas special pour 1 bit : toutes les valeurs negatives deviennent 0
17         return [1 if value > 0 else 0 for value in signal]
```

```

18     elif n_bits > 1:
19         levels = 2**(n_bits - 1) # Utiliser n_bits - 1 pour tenir compte du bit de
    signe
20     # Quantifier le signal dans le nombre de niveaux approprié
21     signal_quantified = np.round(np.array(signal) * (levels // 2)) / (levels // 2)
22     else:
23         signal_quantified = np.zeros_like(signal) # Tout est ramené à zéro pour 0 bit
24
25     return signal_quantified.tolist() # Convertir en liste pour garder le format JSON
26
27 # Fonction pour créer un nouveau fichier JSON pour chaque niveau de bits
28 def create_modified_json(data, n_bits, output_directory):
29     # Créer un nouveau dictionnaire avec les signaux modifiés
30     modified_data = {}
31
32     for note, vecteurs in data.items():
33         modified_data[note] = [reduce_precision(vecteur, n_bits) for vecteur in vecteurs]
34
35     # Générer le nom de fichier pour chaque niveau de bits
36     output_filename = os.path.join(output_directory, f'modified_signal_{n_bits}bit.json')
37
38     # Sauvegarder le nouveau dictionnaire dans un fichier JSON
39     with open(output_filename, 'w') as outfile:
40         json.dump(modified_data, outfile, indent=4)
41
42 # Créer un fichier JSON pour chaque niveau de bits dans le même répertoire que le
    fichier original
43 create_modified_json(data, 16, output_directory)
44 create_modified_json(data, 8, output_directory)
45 create_modified_json(data, 6, output_directory)
46 create_modified_json(data, 4, output_directory)
47 create_modified_json(data, 3, output_directory)
48 create_modified_json(data, 2, output_directory)
49 create_modified_json(data, 1, output_directory)
50 create_modified_json(data, 0, output_directory)

```

### 3.3 Programme pour calculer la résolution et le contraste pour un dictionnaire de notes

```

1 import numpy as np
2 from scipy.odr import ODR, Model, RealData
3 import json
4 import pandas as pd
5 from scipy.optimize import curve_fit
6 import matplotlib.pyplot as plt
7 print('Librairies importées')
8
9 # liste des noms de dictionnaires JSON à charger
10 fichiers=['notes_dict_1ligne', 'modified_signal_1bit', 'modified_signal_2bit', '
    modified_signal_3bit'
11           , 'modified_signal_4bit', 'modified_signal_6bit', 'modified_signal_8bit', '
    modified_signal_16bit']
12
13 # Charger les fichiers JSON
14 def lecteur():
15     encyclopedie=[]
16     for nom in fichiers:

```

```
17         with open(f'Wav-Notes/{nom}.json', 'r') as f:
18             encyclopedie.append(json.load(f))
19         return encyclopedie
20
21 # Fonction gaussienne avec floor ajustable pour curve_fit
22 def gaussian_with_floor(x, A, mu, sigma, floor):
23     return A * np.exp(-((x - mu) ** 2) / (2 * sigma ** 2)) + floor
24
25 # Fonction pour ajuster avec des bornes (curve_fit)
26 def fit_gaussian_with_bounds(corr_data, xaxis, yerr):
27     x_data = xaxis # np.arange(len(corr_data))
28     initial_guess = [np.max(corr_data), np.argmax(corr_data), np.std(corr_data), np.mean(
29         corr_data)] # [amplitude, mean, sigma, offset]
30
31     # Contraintes sur les bornes pour que sigma > 0 et floor proche de la moyenne des
32     # donnees
33     bounds = ([0, 0, 0, np.mean(corr_data) - 0.09], [np.inf, len(corr_data), np.inf, np.
34         mean(corr_data) + 0.09])
35
36     # Utilisation de curve_fit avec la nouvelle fonction gaussienne
37     params, pcov = curve_fit(gaussian_with_floor, x_data, corr_data, p0=initial_guess,
38         sigma=yerr, absolute_sigma=True, bounds=bounds, maxfev
39         =10000)
40
41     perr = np.sqrt(np.diag(pcov)) # Erreurs sur les parametres ajustes
42     return params, perr, x_data
43
44 # Fonction pour calculer la correlation du curve_fit
45 def correlativeur_et_curve_fit_gaussien(data, point_du_tap):
46     #Remarque sur le code a Marielou
47     # Parametres importants
48     nb_points = len(data['1'])[0]
49     dt = 0.1
50     fs=int(nb_points/dt) # sample rate
51     nb_recordings = 1 # nb d'enregistrements par note
52
53     notes = ['1','2','3','4','5','6','7','8','9','10','11','12','13','14','15','16','17'
54 ]
55     matrice = np.zeros((len(notes) * nb_recordings, nb_points))
56
57     i = 0
58     for note, recordings in data.items():
59         for prise in recordings:
60             array = np.array(prise)
61             array_normalise = array / np.max(array)
62             matrice[i] = array_normalise
63             i += 1
64
65     signaux_reference = matrice
66     signal = matrice[point_du_tap]
67     position = 3*10**(-2) + 1.5*np.arange(0, 17)*10**(-2)
68     correlation = np.dot(signaux_reference, signal)/np.max(np.dot(signaux_reference,
69         signal))
70
71     nb_bits = 32
72     range = 2
73     err_ampl = (range/(2**(nb_bits)))/2
74
75     # Propagation de l'erreur sur le produit scalaire de la correlation
```

```

70 yerr = []
71 for element in signaux_reference:
72     # Remplacer les zeros par une petite valeur pour eviter la division par zero
73     signal_safe = np.where(signal == 0, 1e-10, signal)
74     element_safe = np.where(element == 0, 1e-10, element)
75
76     # Calculer l'erreur de multiplication
77     err_multiplication = (signal_safe * element_safe) * np.sqrt((err_ampl /
78 signal_safe) ** 2 + (err_ampl / element_safe) ** 2)
79
80     # Verifier si err_multiplication contient des NaN ou des infinis
81     if np.any(np.isnan(err_multiplication)) or np.any(np.isinf(err_multiplication)):
82         print("Attention : err_multiplication contient des NaN ou des infinis.")
83         continue # Passer a l'iteration suivante
84
85     # Calculer l'erreur totale
86     err_prod = np.sqrt(np.sum(err_multiplication ** 2))
87     yerr.append(err_prod)
88     #yerr=1*correlation
89
90     params, perr, x_data = fit_gaussian_with_bounds(correlation, position, yerr)
91
92     amplitude_fit, mean_fit, sigma_fit, offset_fit = params
93     amplitude_err, mean_err, sigma_err, offset_err = perr
94
95     # La resolution est convertie en cm (chaque point est espace de 1,5 cm)
96     resolution = 1.5 * np.log(2) * np.sqrt(2) * sigma_fit
97     resolution_err = 1.5 * np.log(2) * np.sqrt(2) * sigma_err
98
99     max_diff = amplitude_fit - offset_fit
100     max_diff_err = amplitude_err - offset_err
101
102     return {
103         "resolution": resolution,
104         "resolution_err": resolution_err,
105         "max_diff": max_diff,
106         "max_diff_err": max_diff_err,
107     }
108
109 # Fonction gaussienne ODR
110 def gaussian_with_floor_constrained(p, x):
111     A, mu, log_sigma, floor = p
112     sigma = np.exp(log_sigma) # sigma > 0 en utilisant la transformation exponentielle
113     return A * np.exp(-(x - mu) ** 2 / (2 * sigma ** 2)) + floor
114
115 # Fonction pour calculer la correlation ODR
116 def correlative_ODR(data, point_du_tap, nb_bit):
117     # Parametres importants
118     nb_points = len(data['1'][0])
119     dt = 0.1
120     fs = int(nb_points / dt) # sample rate
121     nb_recordings = 1 # nb d'enregistrements par note
122
123     notes = ['1', '2', '3', '4', '5', '6', '7', '8', '9', '10', '11', '12', '13', '14', '15', '16', '17']
124
125     matrice = np.zeros((len(notes) * nb_recordings, nb_points))
126
127     i = 0
128     for note, recordings in data.items():

```



```
127     for prise in recordings:
128         array = np.array(prise)
129         array_normalise = array / np.max(array)
130         matrice[i] = array_normalise
131         i += 1
132
133     signaux_reference = matrice
134     signal = matrice[point_du_tap]
135     position = 3*10**(-2) + 1.5*np.arange(0, 17)*10**(-2)
136     correlation = np.dot(signaux_reference, signal)/np.max(np.dot(signaux_reference,
137 signal))
138
139     nb_bits = nb_bit
140     range = 2
141     err_ampl = (range/(2**(nb_bits)))/2
142     err_position = 4e-3
143
144     # Propagation de l'erreur sur le produit scalaire de la correlation
145     err_prod_ampl = []
146     for element in signaux_reference:
147         # Remplacer les zeros par une petite valeur pour eviter la division par zero
148         signal_safe = np.where(signal == 0, 1e-10, signal)
149         element_safe = np.where(element == 0, 1e-10, element)
150
151         # Calculer l'erreur de multiplication
152         err_multiplication = (signal_safe * element_safe) * np.sqrt((err_ampl /
153 signal_safe) ** 2 + (err_ampl / element_safe) ** 2)
154
155         # Verifier si err_multiplication contient des NaN ou des infinis
156         if np.any(np.isnan(err_multiplication)) or np.any(np.isinf(err_multiplication)):
157             print("Attention : err_multiplication contient des NaN ou des infinis.")
158             continue # Passer a l'iteration suivante
159
160         # Calculer l'erreur totale
161         err_prod = np.sqrt(np.sum(err_multiplication ** 2))
162         err_prod_ampl.append(err_prod)
163
164     # Utilisation de ODR pour faire le fit gaussien avec sigma toujours positif
165     data = RealData(position, correlation, sx=err_position, sy=err_prod_ampl)
166     model = Model(gaussian_with_floor_constrained)
167
168     guess_initial = [np.max(correlation), np.mean(position), np.log(np.std(position)),
169 np.mean(correlation)]
170     odr = ODR(data, model, beta0=guess_initial)
171     output = odr.run()
172
173     # Parametres optimaux et matrice de covariance
174     A_opt, mu_opt, log_sigma_opt, floor_opt = output.beta
175     sigma_opt = np.exp(log_sigma_opt) # Revenir a sigma
176
177     resolution = np.sqrt(2 * np.log(2)) * sigma_opt
178     resolution_err = np.sqrt(2 * np.log(2)) * sigma_opt * np.sqrt(output.cov_beta[2, 2])
179
180     contraste = A_opt-np.mean(correlation)
181     contraste_err = 2*np.sqrt(output.cov_beta[0, 0])
182
183     return {
184         "resolution": resolution,
185         "resolution_err": resolution_err,
```

```
183     "max_diff": contraste,
184     "max_diff_err": contraste_err,
185 }
186
187 # Ajuster les donnees avec la fonction gaussienne avec plancher
188 params, perr, x_data = fit_gaussian_with_offset_and_errors(corr_data, yerr)
189
190 # Extraction des parametres ajustes
191 amplitude_fit, mean_fit, sigma_fit, offset_fit = params
192 amplitude_err, mean_err, sigma_err, offset_err = perr
193
194 # La resolution est convertie en cm (chaque point est espace de 1,5cm)
195 resolution = 1.5 * np.log(2) * np.sqrt(2) * sigma_fit
196 resolution_err = 1.5 * np.log(2) * np.sqrt(2) * sigma_err
197
198 # Calcul de la difference entre le maximum de la gaussienne et l'offset
199 max_diff = amplitude_fit
200 max_diff_err = amplitude_err # Incertitude sur la difference est celle de l'
amplitude
201
202 # Retourner les resultats
203 return {
204     "resolution": resolution,
205     "resolution_err": resolution_err,
206     "max_diff": max_diff,
207     "max_diff_err": max_diff_err,
208 }
209
210 # Creer une liste pour stocker les resultats
211 results_list = []
212 dictionaries_to_process = lecteur() # Ajoute les autres dictionnaires ici
213 bit_names = ['Original', '1bit', '2bit', '3bit', '4bit', '6bit', '8bit', '16bit']
214 bit_qty = [32, 1, 2, 3, 4, 6, 8, 16] # bit_qty[idx]
215
216 for idx, current_data in enumerate(dictionaries_to_process):
217     a1 = []
218     a2 = []
219     a3 = []
220     a4 = []
221     for i in [7, 8, 9, 10, 11]:
222         corr_data = correlateur_ODR(current_data, i, bit_qty[idx])
223
224         # Analyser les ajustements
225         results = corr_data
226         a1.append(results["resolution"])
227         a2.append(results["resolution_err"])
228         a3.append(results["max_diff"])
229         a4.append(results["max_diff_err"])
230
231     resolution = np.mean(a1)
232     resolution_err = np.mean(a2)
233     contraste = np.mean(a3)
234     contraste_err = np.mean(a4)
235
236 # Ajouter les resultats a la liste, en incluant les noms des bits
237 results_list.append({
238     "Dictionnaire": bit_names[idx],
239     "Resolution": resolution,
240     "Erreur Resolution": resolution_err,
```

```
241         "Contraste": contraste,
242         "Erreur Contraste": contraste_err,
243     })
244
245 # Convertir les resultats en DataFrame
246 results_df = pd.DataFrame(results_list)
247
248 # Exporter les resultats en fichier Excel
249 results_df.to_excel('resultats_nouveaux_points_nb_bit.xlsx', index=False)
250
251 print("Analyse terminee et resultats exportes vers 'resultats'.")
```

### 3.4 Programme pour enregistrer un dictionnaire de notes

```
1 import sounddevice as sd
2 import numpy as np
3 import json
4
5 # temps pour taper la note
6 seconds = 2
7
8 # freq d'acquisition par default
9 fs = 44100
10
11 default = True # Si cette option est utilisee, le micro/speaker par default est utilise
12 devices = sd.query_devices()
13
14 if not default:
15     InputStr = "Choisir le # correspondant au micro parmi la liste: \n"
16     OutputStr = "Choisir le # correspondant au speaker parmi la liste: \n"
17     for i in range(len(devices)):
18         if devices[i]['max_input_channels']:
19             InputStr += ('%d : %s \n' % (i, ''.join(devices[i]['name'])))
20         if devices[i]['max_output_channels']:
21             OutputStr += ('%d : %s \n' % (i, ''.join(devices[i]['name'])))
22     DeviceIn = input(InputStr)
23     DeviceOut = input(OutputStr)
24
25     sd.default.device = [int(DeviceIn), int(DeviceOut)]
26
27 # liste de notes a enregistrer
28 notes = ['1', '2', '3', '4', '5', '6', '7', '8', '9', '10', '11', '12', '13', '14', '15', '16', '17']
29
30 notes_dict = {note: None for note in notes}
31 dt = 1e-1 # Intervalle de temps (en secondes)
32 nb_points = int(dt*fs) # Equivalent en nombre de points pour les indices
33
34 # enregistrement de chaque note
35 for note in notes:
36     recordings = []
37     print(f'Enregistrement de la note', note)
38
39     # ecoute de la note
40     myrecording = sd.rec(int(seconds * fs), samplerate=fs, channels=1)
41     sd.wait()
42     print(f'Enregistrement fini.')
43
44     # Trouver l'amplitude maximale en valeur absolue
```

```

45     max_amplitude = np.max(abs(myrecording))
46     threshold = max_amplitude / 10 # Définir le seuil
47     print(threshold)
48
49     # Créer la fenetre utilisee pour le signal
50     for index, value in enumerate(myrecording):
51         if value >= threshold:
52             start_signal = index
53             break
54
55     cut_signal = myrecording[start_signal:(start_signal + nb_points)].flatten()
56
57     # Normalisation du signal
58     norm_cut_signal = cut_signal / max_amplitude
59
60     # Rajouter le nouveau array a la liste 'recordings'
61     recordings.append(norm_cut_signal.tolist())
62
63     # Transformer la liste en array
64     nom_note = note
65     notes_dict[nom_note] = recordings
66
67 # sauvegarde du dictionnaire en JSON
68 with open('notes_dict_1ligne.json', 'w') as json_file:
69     json.dump(notes_dict, json_file)

```

### 3.5 Programme pour jouer du piano en temps réel

```

1 import sounddevice as sd
2 import numpy as np
3 import threading
4 import matplotlib.pyplot as plt
5 import time
6 from collections import deque
7 import pygame
8 from pydub import AudioSegment
9 import os
10 import json
11 import math
12
13 # chargement du dictionnaire
14 with open('Wav-Notes\\notes_dict_jo.json', 'r') as file:
15     data = json.load(file)
16
17 # parametres audio
18 fs = 44100
19 dt = 0.1 # Intervalle de temps (en secondes)
20 nb_recordings = 1 # Combien de signaux par note
21 nb_points = int(dt * fs)
22
23 # liste de notes
24 notes = ['1', '2', '3', '4', '5', '6', '7', '8', '9', '10', '11', '12', '13', '14', '15',
25         '16', '17']
26 notes_matrix = np.zeros((len(notes) * nb_recordings, nb_points))
27
28 # Conversion des donnees en arrays et reformatage de la memoire
29 i = 0
30 for note, recordings in data.items():

```

```
30     for element in recordings:
31         array = np.array(element)
32         notes_matrix[i] = array
33         i += 1
34
35 notes_dict = {
36     '1': 'c3.wav',
37     '2': 'c-3.wav',
38     '3': 'd3.wav',
39     '4': 'd-3.wav',
40     '5': 'e3.wav',
41     '6': 'f3.wav',
42     '7': 'f-3.wav',
43     '8': 'g3.wav',
44     '9': 'g-3.wav',
45     '10': 'a4.wav',
46     '11': 'a-4.wav',
47     '12': 'b4.wav',
48     '13': 'c4.wav',
49     '14': 'c-4.wav',
50     '15': 'd4.wav',
51     '16': 'd-4.wav',
52     '17': 'e4.wav'
53 }
54
55 pygame.mixer.init()
56
57 # THREAD : fonction pour jouer l'audio d'une note
58 def jouer_note(note):
59     if note in notes_dict:
60         fichier_note = f'Wav-Notes\\{notes_dict[note]}'
61
62         if os.path.isfile(fichier_note):
63             # Load the WAV file in memory
64             note_sound = AudioSegment.from_wav(fichier_note)
65
66             # Play the note using pygame
67             son = pygame.mixer.Sound(fichier_note)
68             son.play()
69             pygame.time.wait(int(note_sound.duration_seconds * 1000)) # attendre fin de
l'audio
70         else:
71             print(f"Le fichier {fichier_note} n'existe pas.")
72     else:
73         print("Note non reconnue.")
74
75 # test de note
76 jouer_note('c3')
77
78 # parametres de detection de signal audio
79 threshold = 0.01 # amplitude minimale pour signaler une impulsion
80 spike_detected = False # flag pour savoir si un signal est detecte
81 capture_duration = 0.15 # temps de capture d'audio post impulsion
82 buffer_size = fs # taille du buffer qui contient le signal audio roulant
83 signal_buffer = np.zeros(buffer_size)
84
85 # Au besoin, fonction pour visualiser le signal audio d'une impulsion
86 def plot_data(data):
87     t = np.linspace(0, dt, len(data))
```

```
88 plt.plot(t, data)
89 plt.xlabel('Time [s]')
90 plt.ylabel('Amplitude')
91 plt.title('Signal After Spike')
92 plt.show()
93
94 # Lecture d'audio en temps reel
95 def audio_callback(indata, frames, time, status):
96     global spike_detected, signal_buffer
97
98     if status:
99         print(status)
100
101     # aplatissage du data entrant
102     audio_data = indata[:, 0]
103
104     # roulement du signal dans le buffer
105     signal_buffer = np.roll(signal_buffer, -frames)
106     signal_buffer[-frames:] = audio_data
107
108     # Analyse du buffer pour l'impulsion
109     if not spike_detected and np.max(audio_data) > threshold:
110         spike_detected = True
111         print("Spike detected!")
112
113         # Si detection, lance le thread d'analyse de signal
114         capture_thread = threading.Thread(target=signal_analysis)
115         capture_thread.start()
116
117 # THREAD : Analyse de signal
118 def signal_analysis():
119     global spike_detected
120
121     time.sleep(capture_duration) # laisse le buffer prendre la suite du signal post
impulsion
122
123     # Capture du signal de l'impulsion dans le buffer
124     post_spike_data = np.copy(signal_buffer)[int(fs - fs * capture_duration - 800):]
125
126 #####
127 # Traitement de donnees
128 #####
129
130     data_max_amp = np.max(abs(post_spike_data))
131     data_threshold = data_max_amp / 10
132
133     # Creer la fenetre utilisee pour le signal
134     for index, value in enumerate(post_spike_data):
135         if value >= data_threshold:
136             start_signal = index
137             break
138     cut_data = post_spike_data[start_signal:(start_signal + int(dt * fs))].flatten()
139
140     # Plot the data
141     # plot_data(cut_data)
142
143     # Normalisation du signal
144     norm_cut_data = cut_data / data_max_amp
145
```

```
146 # Transformer la liste en array
147 signal_array = np.array(norm_cut_data)
148
149 # Produit scalaire (correlation) entre les donnees de training et le signal test
150 scalar_prod = np.dot(notes_matrix, signal_array)
151
152 # Trouver l'indice de la valeur max du produit scalaire et trouver sa note
correspondante
153 index_max = np.argmax(scalar_prod)
154 note_index = index_max // nb_recordings
155 print(scalar_prod)
156
157 note = notes[note_index]
158 if note:
159     print(f"Playing note: {note}")
160     # Lance le thread pour jouer la note identifiee
161     play_note_thread = threading.Thread(target=jouer_note, args=(note,))
162     play_note_thread.start()
163
164 # Reset du flag pour continuer a lire des impulsions
165 spike_detected = False
166
167 # Lancement de la lecture d'audio en continu
168 with sd.InputStream(callback=audio_callback, samplerate=fs, channels=1):
169     print("Recording... (Press Ctrl+C to stop)")
170     while True:
171         time.sleep(0.001) # Keep the main loop running
```

## 4 Annexe

### 4.1 Preuve de la correction par Antidote

Cette capture d'écran prouve que le contenu de cette fiche technique a été vérifié par le logiciel Antidote pour la correction du français.

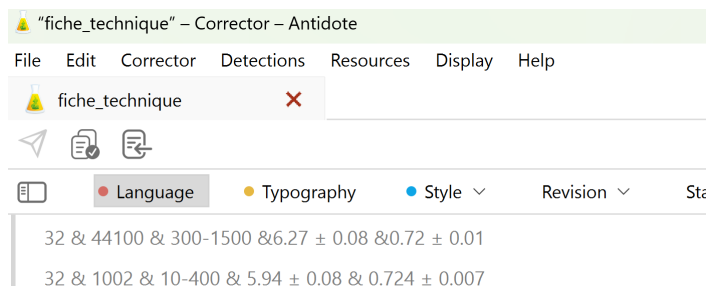


Tableau des spécifications de l'écran tactile acoustique avec modification de f

#### Rapports de tests

La section qui suit détaille les tests effectués afin de produire le tableau des s  
attention particulière est portée à la modification du nombre de bits des écha  
fréquence d' \utilisée ainsi qu'au contenu fréquentiel sauvegardé, afin d'analy  
ayant ces facteurs de dégradés peut tout de même présenter des performanc  
Comme c'est le cas, le processeur et la mémoire requise pour opérer le piano  
dispendieux et rester opérationnel.

Figure 8 : Preuve de correction par Antidote.



## Références

- [1] NATIONAL INSTRUMENTS. *Acquiring an Analog Signal : Bandwidth, Nyquist Sampling Theorem, and Aliasing*. 2024. URL : `%5Curl%7Bhttps://www.ni.com/en/shop/data-acquisition/measurement-fundamentals/analog-fundamentals/acquiring-an-analog-signal--bandwidth--nyquist-sampling-theorem-.html#:~:text=The%20Nyquist%20Sampling%20Theorem%20explains,the%20Nyquist%20frequency%2C%20fN.%7D`.